

Применение численных методов при визуализации решений некоторых уравнений с частными производными на римановых многообразиях

Давыдов Алексей Сергеевич, группа МКН-131

Волгоградский государственный университет

Научный руководитель — к.ф.-м.н. **И.А. Романова**

Волгоград
2017г.

Востребованность научной визуализации в различных отраслях знаний, в частности, в области визуального представления численных решений математических задач.

Цель работы:

Разработка и реализация метода решения и визуального представления решения уравнений в частных производных на примере нестационарного уравнения теплопроводности на торе

Задачи:

- Теоретическое исследование уравнения
- Построение модели численного решения
- Написание программы для решения уравнения
- Визуализация полученных данных

Аналитическая постановка задачи

- Общий вид уравнения

$$u_t = a^2 \Delta u + f(x, t) \quad (1)$$

- Начальное условие

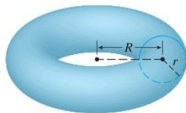
$$u|_{t=0} = u_0(x) \quad (2)$$

- Граничные условия

$$u|_S = \mu(t) \quad (3)$$

На поверхности тора:

$$\begin{cases} u_t = a^2 \left(\frac{1}{r^2} u_{\varphi\varphi} - \frac{\sin \varphi}{r(R + r \cos \varphi)} u_{\varphi} + \frac{1}{(R + r \cos \varphi)^2} u_{\psi\psi} \right) + f(\varphi, \psi, t) \\ u|_{t=0} = \theta(\varphi, \psi) \\ u|_{\varphi=0} = u|_{\varphi=2\pi} \\ u|_{\psi=0} = u|_{\psi=2\pi} \end{cases} \quad (4)$$



- Применимость для сложных областей
- Возможность автоматизации численного решения с помощью программирования
- Использование полученных расчетов для визуализации

Метод конечных разностей

- Размер шага

$$\Delta t = \frac{T}{K}, \quad \Delta \varphi = \frac{2\pi}{N}, \quad \Delta \psi = \frac{2\pi}{M}.$$

- Координаты узлов сетки на области $[0..2\pi] \times [0..2\pi] \times [0..T]$

$$t^k = k\Delta t, \quad k = 0, 1, 2, \dots, K,$$

$$\varphi_i = i\Delta \varphi, \quad i = 0, 1, 2, \dots, N,$$

$$\psi_j = j\Delta \psi, \quad j = 0, 1, 2, \dots, M.$$

- Коэффициенты перед разностными операторами

$$X = \frac{a^2}{r^2}, \quad Y_i = \frac{a^2 \sin \varphi_i}{r(R + r \cos \varphi_i)}, \quad Z_i = \frac{a^2}{(R + r \cos \varphi_i)^2}.$$

- Последовательности значений функций в узлах сетки

$$u_{i,j}^k = u(t^k, \varphi_i, \psi_j),$$

$$f_{i,j}^k = f(t^k, \varphi_i, \psi_j),$$

$$\theta_{i,j} = \theta(\varphi_i, \psi_j),$$

$$\begin{cases} \frac{\tilde{u}_{i,j} - u_{i,j}^k}{\Delta t} = Z_i \left(\frac{\tilde{u}_{i,j+1} - 2\tilde{u}_{i,j} + \tilde{u}_{i,j-1}}{\Delta \psi^2} \right) + f_{i,j}^k \\ \frac{u_{i,j}^{k+1} - \tilde{u}_{i,j}}{\Delta t} = X \left(\frac{u_{i+1,j}^{k+1} - 2u_{i,j}^{k+1} + u_{i-1,j}^{k+1}}{\Delta \varphi^2} \right) + Y_i \left(\frac{u_{i+1,j}^{k+1} - u_{i-1,j}^{k+1}}{2\Delta \varphi} \right) \\ u_{i,j}^0 = \theta_{i,j} \\ u_{0,j}^k = u_{N,j}^k \\ u_{i,0}^k = u_{i,M}^k \end{cases}$$

- Порядок аппроксимации $O(\Delta t, \Delta \varphi^2, \Delta \psi^2)$
- Абсолютная устойчивость
- Применимость метода циклической прогонки к обеим подсхемам

Иллюстрация температуры



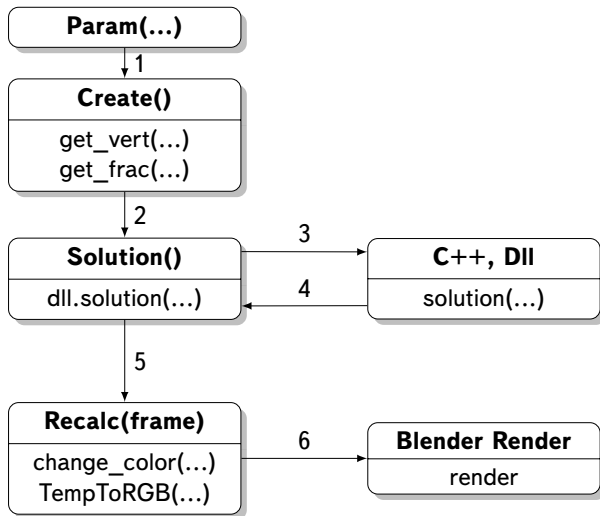
Temp_min

Temp_max

Спектр зависимости цвета от температуры



Схема работы программы



Пример 1

Затухающий источник с периодическим неравномерным распределением тепла

$$\begin{cases} u_t = \frac{1}{16} \left(u_{\varphi\varphi} - \frac{\sin \varphi}{(2 + \cos \varphi)} u_{\varphi} + \frac{1}{(2 + \cos \varphi)^2} u_{\psi\psi} \right) + f(\varphi, \psi, t) \\ u|_{t=0} = 0 \\ u|_{\varphi=0} = u|_{\varphi=2\pi} \\ u|_{\psi=0} = u|_{\psi=2\pi}, \quad T = 10 \end{cases}$$

$$f(\varphi, \psi, t) = 18e^{-\frac{t}{4}} \cos 4\varphi \cos 4\psi$$

Пример 2

Внешний источник, меняющий область воздействия со временем

$$\begin{cases} u_t = \frac{1}{16} \left(u_{\varphi\varphi} - \frac{\sin \varphi}{(2 + \cos \varphi)} u_{\varphi} + \frac{1}{(2 + \cos \varphi)^2} u_{\psi\psi} \right) + f(\varphi, \psi, t) \\ u|_{t=0} = 0 \\ u|_{\varphi=0} = u|_{\varphi=2\pi} \\ u|_{\psi=0} = u|_{\psi=2\pi}, \quad T = 150 \end{cases}$$

$$f(\varphi, \psi, t) = \begin{cases} \cos \psi, & t < 30 \\ 2 \sin \varphi, & t \geq 30 \end{cases}$$

Пример 3

Точечное внешнее воздействие

$$\begin{cases} u_t = \frac{1}{16} \left(u_{\varphi\varphi} - \frac{\sin \varphi}{(2 + \cos \varphi)} u_{\varphi} + \frac{1}{(2 + \cos \varphi)^2} u_{\psi\psi} \right) + f(\varphi, \psi, t) \\ u|_{t=0} = 0 \\ u|_{\varphi=0} = u|_{\varphi=2\pi} \\ u|_{\psi=0} = u|_{\psi=2\pi} \end{cases}$$

- Один источник

$$f(\varphi, \psi, t) = \begin{cases} 10, & \sin(\varphi) > 0.95 \text{ и } \sin(\psi) > 0.95 \\ 0, & \text{в других случаях} \end{cases}$$

$$T = 280$$

- Два источника

$$f(\varphi, \psi, t) = \begin{cases} 5, & \sin(\varphi) > 0.95 \text{ и } \sin(\psi) > 0.95 \\ 5, & \sin(\varphi) > 0.95 \text{ и } \sin(\psi + \pi) > 0.95 \\ 0, & \text{в других случаях} \end{cases}$$

$$T = 200$$

- Исследована применимость конечно-разностных методов для уравнения теплопроводности на торе
- Разработан оптимальный и автоматизированный программный продукт для визуализации численных расчетов
- Имеется возможность усложнения области решения

Спасибо за внимание!